

Metody numeryczne

Lista 6

Katarzyna Korsak 229707

Piątek 7³⁰

Zadania 1-3

1-3.1 Rozwiązanie zadania

Rozwiązanie 3 pierwszych zadań zawarte zostało w jednym .m-pliku. Jego kod wygląda następująco:

```
zad1.m
theta0 = 5*pi/180;
tstart = 0;
tend = 100;
omega0 = 0;
h = 0.01;

[tOut,thetaOut,omegaOut] = EulerWahadlo(tstart,tend,theta0,omega0,h);

figure;
plot(tOut,thetaOut); % wykres polozenia wzgledem czasu
title('Polozenie wzgledem czasu (Euler)');

y=thetaOut(1:end-1).*(thetaOut(2:end));
x=find(y<0);
mz=diff(x);
Tc=2*mz*h;
T=Tc(1)

Ek = omegaOut.*omegaOut/2;
Ep = 1 - cos(thetaOut);
Emech = Ek + Ep;
figure;
plot(tOut,Emech/Emech(1));
xlabel('czas');
ylabel('energia mechaniczna');
title('Energia mechaniczna w funkcji czasu');

[tOut,thetaOut,omegaOut] =
EulerRichardsonWahadlo(tstart,tend,theta0,omega0,h);

figure;
plot(tOut,thetaOut); % wykres polozenia wzgledem czasu
title('Polozenie wzgledem czasu (Euler-Richardson)');
```

Wyliczony okres wynosi $T=6,28$. Sposób jego obliczenia wytłumaczony został przez Prowadzącą. Poniższe skrypty zawierają funkcje zawierające kolejno metodę Eulera i metodę Eulera-Richardsona.

```

EulerWahadlo.m
function [tOut,thetaOut,omegaOut] =
EulerWahadlo(tstart,tend,theta0,omega0,h)

t = tstart;
tOut(1) = tstart;
thetaOut(1) = theta0;
omegaOut(1) = omega0;

theta = theta0;
omega = omega0;

n = floor((tend-tstart)/h);

for i=1:n
    thetaOld=theta;
    theta = theta + omega*h;
    omega = omega - sin(thetaOld)*h;

    thetaOut = [thetaOut;theta];    omegaOut = [omegaOut;omega];

    t = t + h;
    tOut = [tOut;t];
end
end

```

```

EulerRichardsonWahadlo.m
function [tOut,thetaOut,omegaOut] =
EulerRichardsonWahadlo(tstart,tend,theta0,omega0,h)

t = tstart;
tOut(1) = tstart;
thetaOut(1) = theta0;
omegaOut(1) = omega0;

theta = theta0;
omega = omega0;

tMid=0;
thetaMid=0;

n = floor((tend-tstart)/h);

for i=1:n

    thetaOld=theta;

    tMid =t + h/2;
    thetaMid=theta + h/2*omega;
    omegaMid=omega - sin(thetaOld)*h/2;

    theta = theta + h*omegaMid;
    omega = omega - sin(thetaMid)*h;

    thetaOut = [thetaOut;theta];
    omegaOut = [omegaOut;omega];

```

```

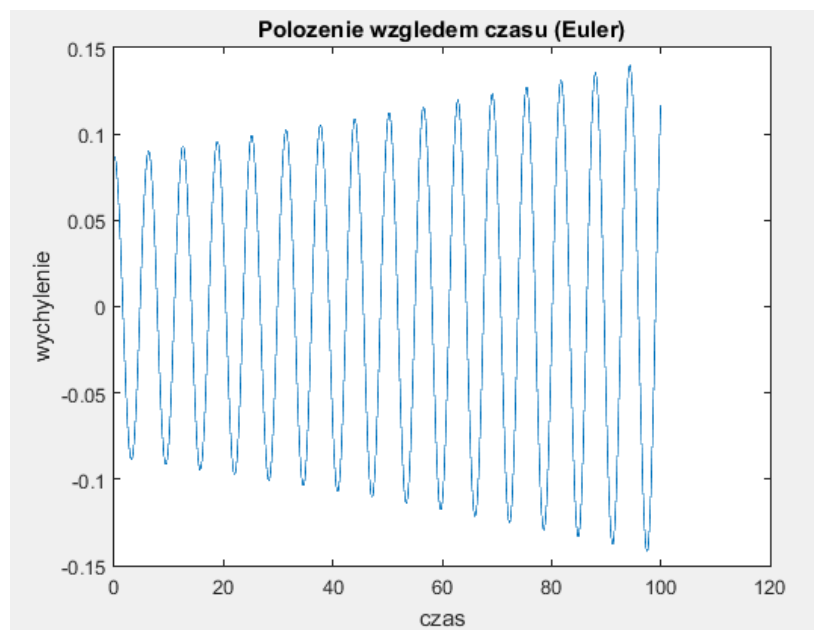
t = t + h;
tOut = [tOut;t];
end
end

```

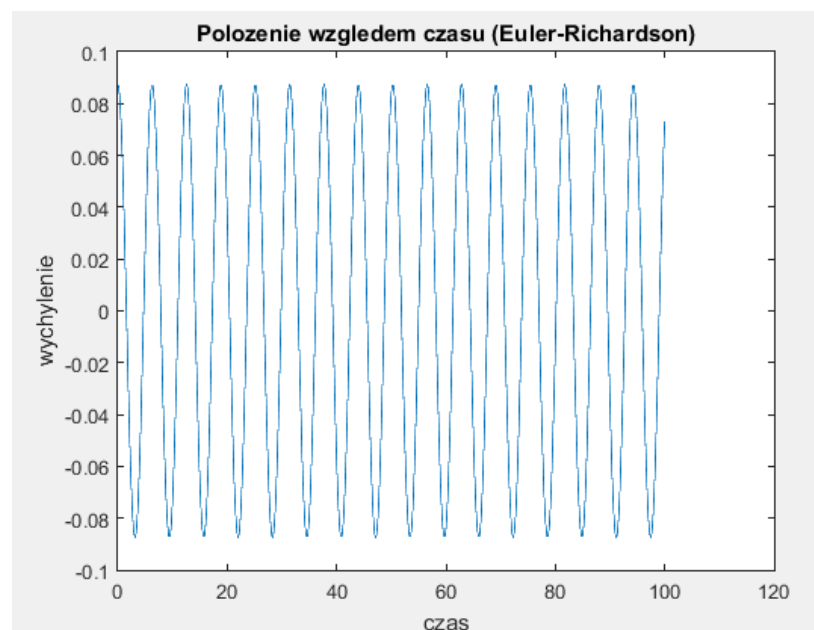
Zadania 1-3

1-3.2 Wyniki

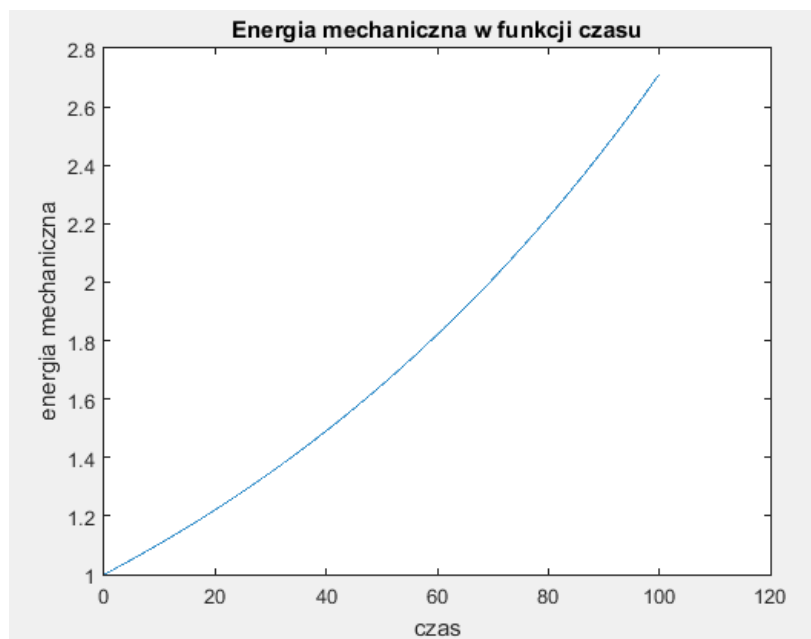
Poniżej przedstawiono wykresy dla wartości zawartych w powyższych skryptach, gdzie krok całkowania wynosi 0,01.



Wykres 1

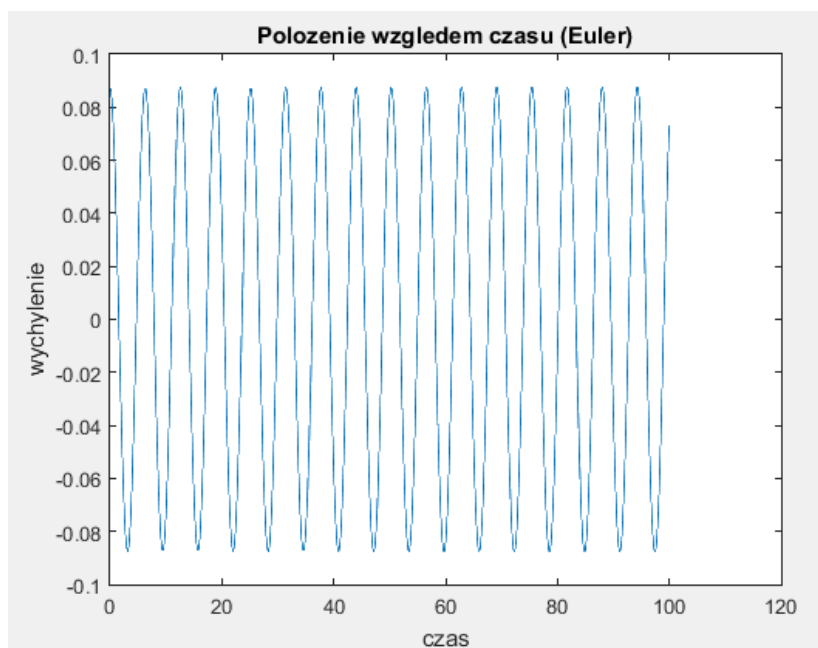


Wykres 2

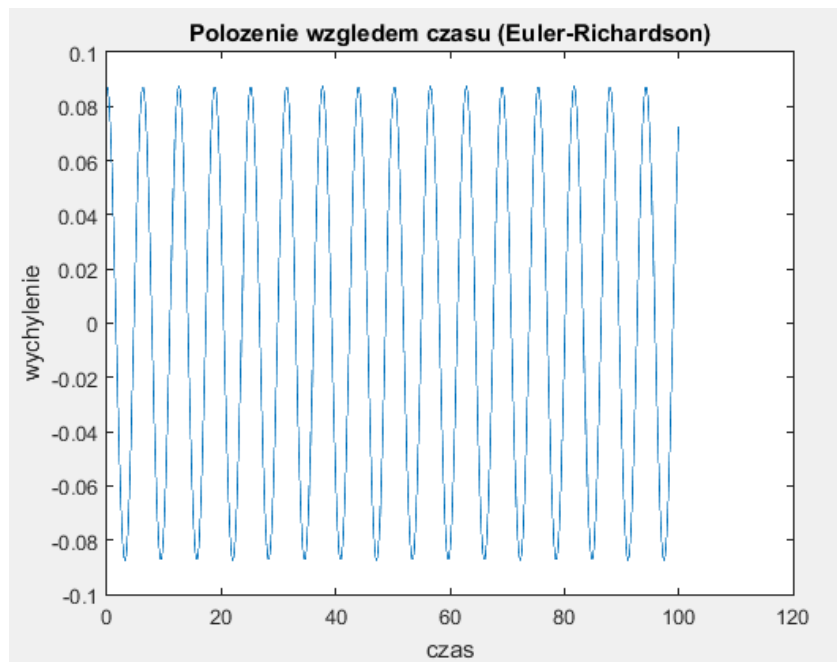


Wykres 3

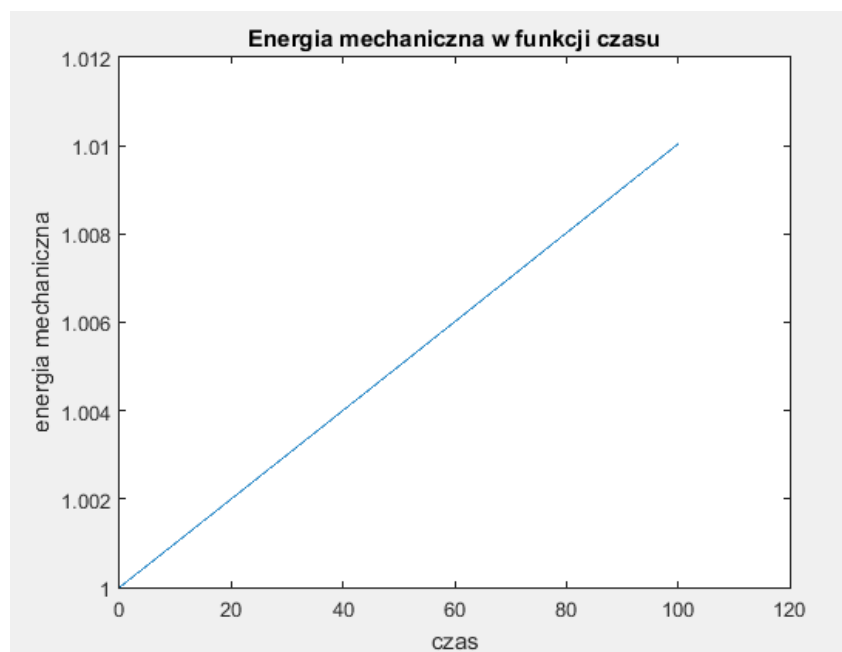
Poniżej zaprezentowano wyniki dla stukrotnie mniejszego kroku całkowania ($h=0,0001$).



Wykres 4



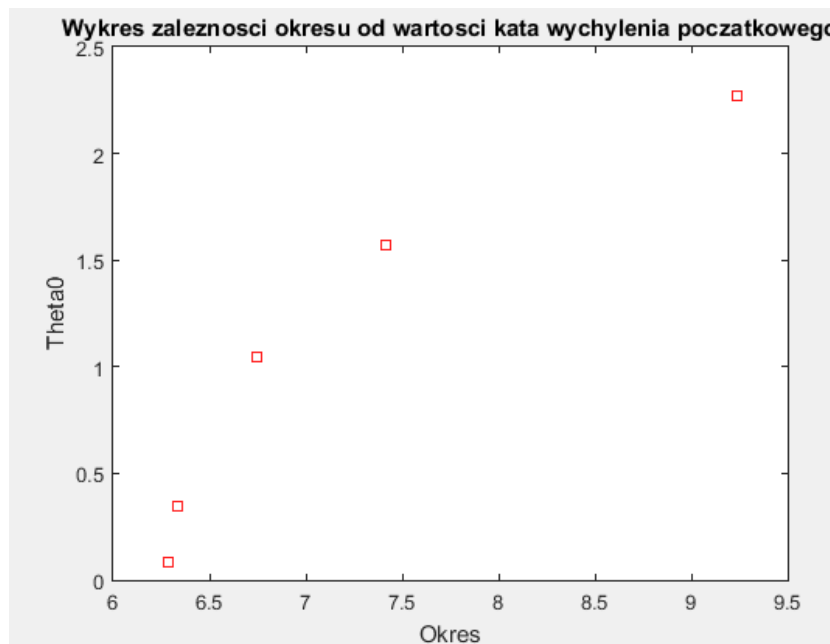
Wykres 5



Wykres 6

Wyliczony okres wynosi 6,2862 ($\theta_0 = 5 \cdot \pi / 180$).

Poniżej przedstawiono zależność okresu od wychylenia początkowego dla kilku wartości kąta.



Wykres 7

Zadania 1-3

1-3.3 Wnioski

Na wykresie 1 widoczne są drgania z rosnącą amplitudą co jest sprzeczne z oczekiwaniami, ponieważ bez obecności oporów powietrza powinny to być wartości stałe, i wyraźnie różne od wykresu 2, który przedstawia metodę Eulera-Richardsona z połowicznym krokiem całkowania, co wyraźnie pokazuje, że dla kroku $h=0,01$, który jest dość dużym krokiem, zdecydowanie lepsza jest druga z metod. Natomiast dla kroku $h=0,0001$ metody widoczne na wykresach 4 i 5 gołym okiem różnicy nie widać, więc metoda Eulera jest wystarczająco dobra. Energia mechaniczna w funkcji czasu powinna być wartością stałą, lecz ze względu na numeryczny charakter rozwiązania przyjmuje wartości oscylujące wokół 1. Jednak dla przypadku 1 błąd względny wynosi aż ok. 64%. Dla przypadku 2 widocznego na wykresie 6 błąd względny osiąga niecały 1%. Zgodnie z oczekiwaniami dla rosnących wartości wychylenia początkowego θ_0 rośnie wartość okresu drgań, co zostało przedstawione na wykresie 7 dla kilku z wartości.

Zadanie 4

4.1 Rozwiązanie zadania

Poniżej przedstawiono skrypty rozwiązania zadania 4, gdzie występuje tłumienie drgań w postaci $-c * \omega$.

```

zad4.m
theta0 = 5*pi/180;
tstart = 0;
tend = 100;
omega0 = 0;
h = 0.0001;
c = 0.1;

[tOut,thetaOut,omegaOut] = tlumienie(tstart,tend,theta0,omega0,h,c);

figure;
plot(tOut,thetaOut); % wykres polozenia wzgledem czasu
title('Polozenie wzgledem czasu (c=0.1)');
xlabel('czas');
ylabel('wychylenie');

tlumienie.m
function [tOut,thetaOut,omegaOut] =
tlumienie(tstart,tend,theta0,omega0,h,c)

t = tstart;
tOut(1) = tstart;
thetaOut(1) = theta0;
omegaOut(1) = omega0;

theta = theta0;
omega = omega0;

n = floor((tend-tstart)/h);

for i=1:n

    thetaOld=theta;
    theta = theta + omega*h;
    omega = omega - sin(thetaOld)*h-c*omega*h;

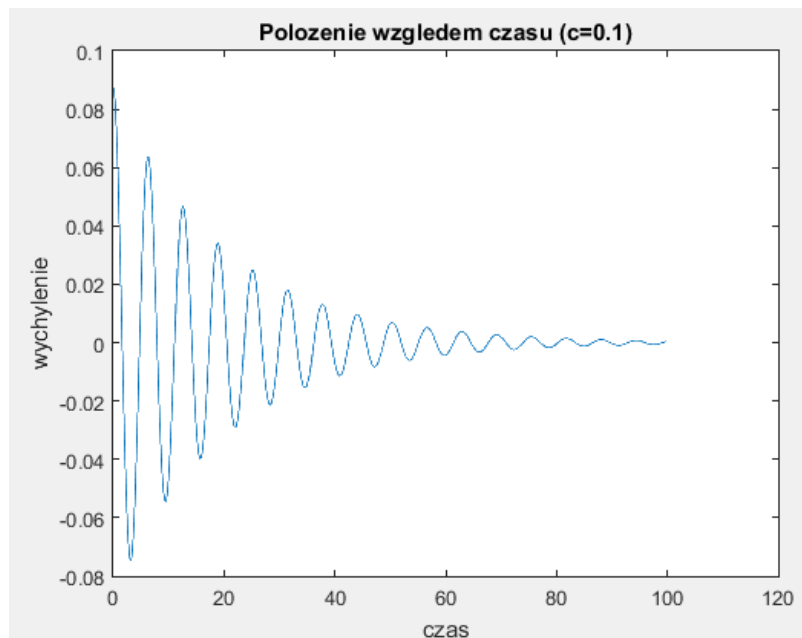
    thetaOut = [thetaOut;theta];
    omegaOut = [omegaOut;omega];

    t = t + h;
    tOut = [tOut;t];
end
end

```

Zadanie 4

4.2 Wyniki



Wykres 8



Wykres 9

Zadanie 4

4.3 Wnioski

Dla niskiej wartości współczynnika tłumienia c (wykres 8) wychylenie stopniowo maleje w czasie. Dla stosunkowo dużej wartości c tłumienie jest bardzo duże i całkowite wygaszenie drgań następuje już po ok. 1/10 czasu całkowitego.

Zadanie 5-6

5-6.1 Rozwiązanie zadania

Zadanie 5 i 6 przedstawione zostanie w postaci jednego m.-pliku i wspólnej funkcji, na jednym wykresie.

```
zad5.m
theta0 = 5*pi/180;
tstart = 0;
tend = 100;
omega0 = 0;
h = 0.0001;
c = 0.5;
A=0.5;
f=2/3;

[tOut, thetaOut, omegaOut] =
EulerRichardsonWahadlo2(tstart, tend, theta0, omega0, h, c, A, f);

figure;
subplot(2,1,1);
plot(tOut, thetaOut); % wykres polozenia wzgledem czasu
title('Polozenie wzgledem czasu (A=0.5)');

A=1.2;
[tOut, thetaOut, omegaOut] =
EulerRichardsonWahadlo2(tstart, tend, theta0, omega0, h, c, A, f);
subplot(2,1,2);
plot(tOut, thetaOut);
title('Polozenie wzgledem czasu (A=1.2)');

EulerRichardsonWahadlo2.m
function [tOut, thetaOut, omegaOut] =
EulerRichardsonWahadlo2(tstart, tend, theta0, omega0, h, c, A, f)

t = tstart;
tOut(1) = tstart;
thetaOut(1) = theta0;
omegaOut(1) = omega0;

theta = theta0;
omega = omega0;
```

```

tMid=0;
thetaMid=0;

n = floor((tend-tstart)/h);

for i=1:n

    thetaOld=theta;

    tMid =t + h/2;
    thetaMid=theta + h/2*omega;
    omegaMid=omega - sin(thetaOld)*h/2-c*omega*h/2+A*sin(t*f)*h/2;

    theta = theta + h*omegaMid;
    omega = omega - sin(thetaMid)*h-c*omegaMid*h+A*sin(tMid*f)*h;

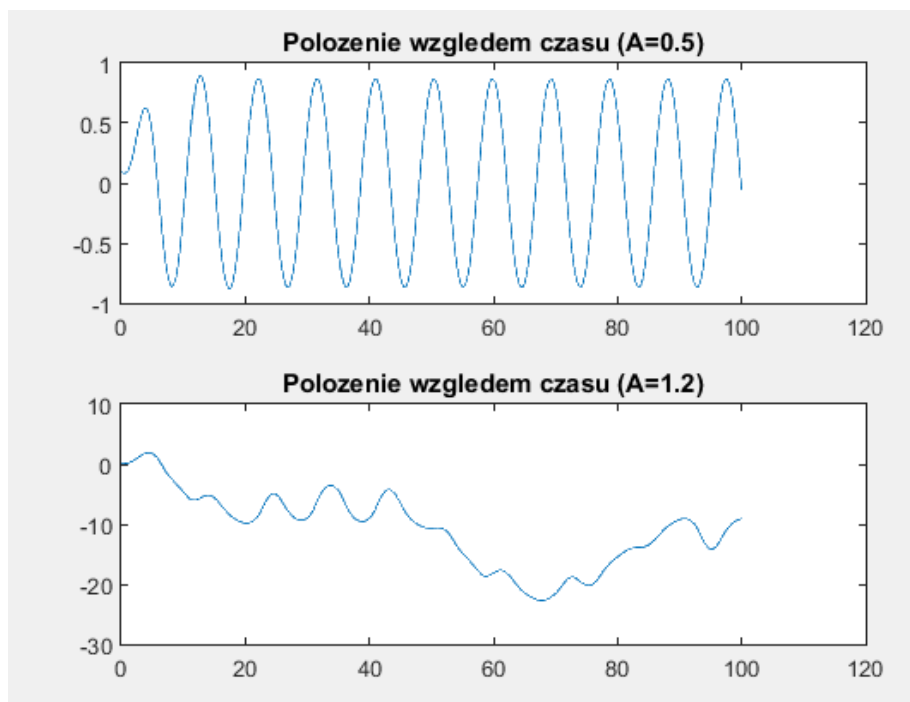
    thetaOut = [thetaOut;theta];
    omegaOut = [omegaOut;omega];

    t = t + h;
    tOut = [tOut;t];
end
end

```

Zadanie 5-6

5-6.2 Wyniki



Wykres 10,11

Zadanie 5-6

5-6.3 Wnioski

Na wykresie 10 widzimy, że dla amplitudy zewnętrznego momentu siły równej 0.5 ruch drgający jest periodyczny, wartości maksymalne wychyleń są równe poza 1 drganiem, którego amplituda jest mniejsza. Wynika to zapewne z obecności współczynnika c , którego wartość jest jednak na tyle niska, że nie powoduje wygaszania. Na wykresie 11 przedstawiony jest ruch nieperiodyczny, którego drgania występują po jednej stronie osi. Sytuacja ta mogłaby odpowiadać rzeczywistej, w której z jednego kierunku nieustannie wieje wiatr, z różną mocą, który nie pozwala jednak obiektowi zawieszonemu na lince przenieść się na drugą stronę osi linki.